



UNIVERSIDAD DE CONCEPCIÓN  
FACULTAD DE CIENCIAS FÍSICAS Y MATEMÁTICAS  
DEPARTAMENTO DE INGENIERÍA MATEMÁTICA

---

## A QUASI-PERIODIC HDG METHOD FOR THE HELMHOLTZ EQUATION IN HETEROGENEOUS DOMAINS

---

AUTOR

**Ignacio Sebastian Ruminot Aburto**

Tesis presentada a la Facultad de Ciencias Físicas y Matemáticas de la Universidad de Concepción para optar al título profesional de Ingeniero Civil Matemático

Profesores Guía: Dr. Manuel E. Solano Dr. Patrick Vega.

**Septiembre de 2024, Concepción, Chile.**

© 2024 Ignacio Sebastian Ruminot Aburto

Se autoriza la reproducción total o parcial, con fines académicos, por cualquier medio o procedimiento, incluyendo la cita bibliográfica del documento.

# A QUASI-PERIODIC HDG METHOD FOR THE HELMHOLTZ EQUATION IN HETEROGENEOUS DOMAINS COMISIÓN EVALUADORA

Dr. Ma-

nuel E. Solano [Profesor guía] CI<sup>2</sup>MA y Departamento de Ingeniería Matemática, Universidad de Concepción, Chile.  
Dr. Patrick Vega [Profesor guía] Departamento de Matemática y Ciencia de la Computación, Universidad de Santiago de Chile, Chile. **FECHA DE DEFENSA:** .

# Agradecimientos

AQUÍ VAN LOS AGRADECIMIENTOS



# Índice general

Agradecimientos	3
Índice de figuras	6
Abstract	8
Resumen	9
1. Introducción	11
2. Un método HDG aplicado a la ecuación de Helmholtz.	13
2.1. Preliminares y dominio computacional. . . . .	13
2.2. El esquema HDG. . . . .	14
3. Implementación Computacional.	15



# Índice de figuras

2.1. Representación de las particiones. . . . .	14
---	----



# Abstract

# Resumen



## Capítulo 1

# Introducción



## Capítulo 2

# Un método HDG aplicado a la ecuación de Helmholtz.

### 2.1. Preliminares y dominio computacional.

Para realizar el estudio del método HDG aplicado a la formulación (AQUI FALTA), es necesario definir la notación a utilizar. Primero se define

$$(\cdot, \cdot)_{\mathcal{T}_h} := \sum_{K \in \mathcal{T}_h} (\cdot, \cdot)_K \quad , \quad \langle \cdot, \cdot \rangle_{\partial \mathcal{T}_h} := \sum_{K \in \mathcal{T}_h} \langle \cdot, \cdot \rangle_{\partial K} \quad , \quad \langle \cdot, \cdot \rangle_{\partial \mathcal{T}_h \setminus \Gamma} := \sum_{e \in \mathcal{E}_h} \langle \cdot, \cdot \rangle_e.$$

Donde  $(\cdot, \cdot)_K$ ,  $\langle \cdot, \cdot \rangle_{\partial K}$  y  $\langle \cdot, \cdot \rangle_e$  es el producto interior estandar de  $L^2$  sobre el elemento  $K$ , su frontera  $\partial K$  y lado  $e$ , respectivamente. Sea  $\{\mathcal{T}_h\}_{h>0}$  una familia de triangulaciones SHAPE-REGULAR de  $\Omega$ , formada por triángulos  $K$  cuyos lados se denominan  $e$ , donde el diametro se denota por  $h_K$  y  $\mathbf{n}$  es el vector normal exterior. También, sean  $\partial \mathcal{T}_h := \{\partial K : K \in \mathcal{T}_h\}$  y  $\mathcal{E}_h := \mathcal{E}_o \cup \mathcal{E}_t \cup \mathcal{E}_b \cup \mathcal{E}_l \cup \mathcal{E}_r$ , donde  $\mathcal{E}_o$ ,  $\mathcal{E}_t$ ,  $\mathcal{E}_b$ ,  $\mathcal{E}_l$ ,  $\mathcal{E}_r$  denotan los lados interiores, de frontera superior, inferior, izquierda y derecha, respectivamente.

Como el dominio es quasi-periódico, la partición  $\mathcal{E}_l$  induce una nueva partición sobre la frontera derecha  $\Gamma_r$ , que denotamos por  $\mathcal{F}_r$ . Del mismo modo,  $\mathcal{E}_r$  induce una nueva partición sobre la frontera izquierda  $\Gamma_l$  que denotamos  $\mathcal{F}_l$ .

En otras palabras, sean  $\mathcal{N}_l := \{(0, y_0), \dots, (0, y_{N_l})\}$  el conjunto de nodos de la partición  $\mathcal{E}_l$  con  $y_0 < y_1 < \dots < y_{N_l}$  y  $\mathcal{N}_r := \{(L, z_0), \dots, (L, z_{N_r})\}$  el conjunto de nodos de la partición  $\mathcal{E}_r$  con  $z_0 < z_1 < \dots < z_{N_r}$ . Una manera de poder hacer coincidir la cantidad de nodos en ambas nuevas particiones inducidas es considerar el conjunto  $\{w_j\}_{j=0}^N$  formado por la unión de  $\{y_j\}_{j=0}^{N_l}$  y  $\{z_j\}_{j=0}^{N_r}$  excluyendo repeticiones tal que  $w_0 < w_1 < \dots < w_N$ . Así, las particiones inducidas se definen de la forma  $\mathcal{F}_l := \{(0, w_0), \dots, (0, w_N)\}$  y  $\mathcal{F}_r := \{(L, w_0), \dots, (L, w_N)\}$  de las fronteras  $\Gamma_l$  y  $\Gamma_r$  respectivamente.

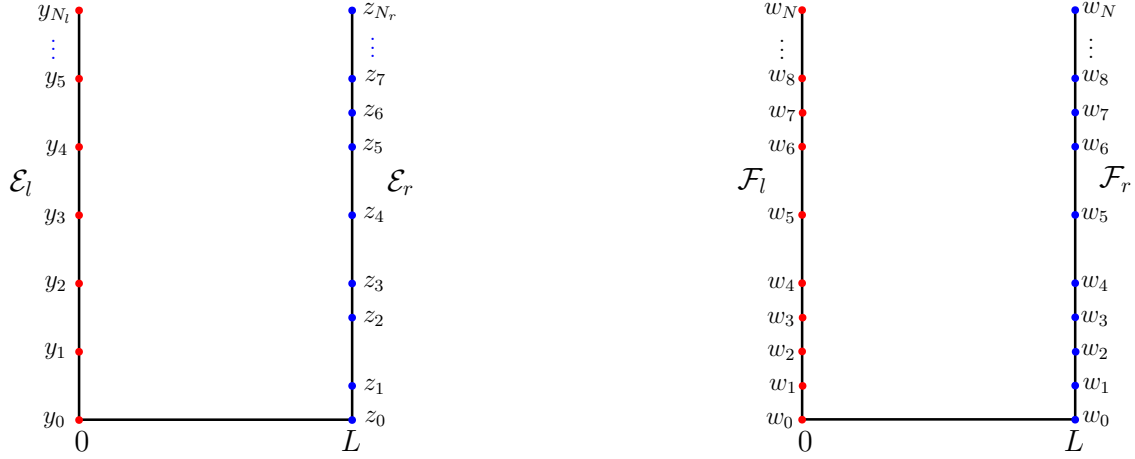
(a) En rojo los nodos de  $\mathcal{E}_l$  y en azul los nodos de  $\mathcal{E}_r$ .(b) En rojo los nodos de  $\mathcal{F}_l$  y en azul los nodos de  $\mathcal{F}_r$ .

Figura 2.1: Representación de las particiones.

Dado un elemento  $K \in \mathcal{T}_h$ , un lado  $e \in \mathcal{E}_h$  y un entero no negativo  $k$ ,  $\mathcal{P}_k(K)$  y  $\mathcal{P}_k(e)$  denotan los espacios de polinomios de grado menor o igual a  $k$  sobre  $K$  y  $e$  respectivamente. También se define  $\mathbf{P}_k := [\mathcal{P}_k(K)]^d$ . Luego, para  $*$   $\in \{l, r\}$ , denotamos  $P_{\mathcal{F}_*}^{k_{\mathcal{F}}}$  a la proyección ortogonal  $L^2(\Gamma_*)$  sobre  $\mathcal{P}_{k_{\mathcal{F}}}(\mathcal{F}_*)$ .

## 2.2. El esquema HDG.

Introducimos los siguientes espacios discretos asociados a la triangulación  $\mathcal{T}_h$

$$\begin{aligned} \mathbf{V}_h &:= \left\{ \mathbf{v} \in \mathbf{L}^2(\mathcal{T}_h) : \mathbf{v}|_K \in \mathbf{P}_k(K) \quad \forall K \in \mathcal{T}_h \right\}, \\ W_h &:= \left\{ w \in L^2(\mathcal{T}_h) : w|_K \in \mathcal{P}_k(K) \quad \forall K \in \mathcal{T}_h \right\}, \\ M_h &:= \left\{ \mu \in L^2(\mathcal{E}_h) : \mu|_e \in \mathcal{P}_k(e) \quad \forall e \in \mathcal{E}_h \right\}, \\ M_h^{qp} &:= \left\{ \mu \in M_h : P_{\mathcal{F}_l}^{k_{\mathcal{F}}}(\mu|_{\mathcal{E}_l}) = e^{i\alpha L} P_{\mathcal{F}_r}^{k_{\mathcal{F}}}(\mu|_{\mathcal{E}_r}) \right\}. \end{aligned}$$

## Capítulo 3

# Implementación Computacional.



---

hola